

تأثیر عملیات نیتراسیون گازی بر رفتار خوردگی پوشش  $TiO_2$  ایجاد شده به روش اکسیداسیون الکترولیتی پلاسمایی\*حسن بختیاری زمانی<sup>(۱)</sup> احسان صائب نوری<sup>(۲)</sup> سیدعلی حسن زاده تبریزی<sup>(۳)</sup> فاطمه سلحشوری<sup>(۴)</sup>

## چکیده

هدف این پژوهش بررسی رفتار خوردگی پوشش دوپلکس  $TiO_2-N$  ایجاد شده به روش اکسیداسیون پلاسمای الکترولیتی و نیتراسیون گازی است. در مرحله اول، عملیات پوشش دهی به روش اکسیداسیون الکترولیتی پلاسمایی در الکترولیت حاوی ترکیبات سدیم کربنات و سدیم هیدروکسید برای تشکیل  $TiO_2$  انجام شد. در فرایند دوم پوشش دهی، فلز تیتانیم همراه با پوشش اکسید تیتانیم درون کوره تیوبی با دمای  $1000^\circ C$  به مدت ۶ ساعت نیترووره شدند تا خواص خوردگی پوشش های به دست آمده باهم مقایسه شود. از آزمون های تفرق اشعه ایکس برای فاز یابی، میکروسکوپ الکترونی روبشی برای ارزیابی مورفولوژی و ساختار سطح و مقطع پوشش ها و پلاریزاسیون پتانسیودینامیک همراه با طیف سنجی امپدانس الکتروشیمیایی نیز برای بررسی رفتار خوردگی استفاده شد. نتایج آزمون پراش اشعه ایکس نشان داد که پوشش اکسید تیتانیم از فاز روتیل و نمونه های نیترووره شده از فاز های نیتريد تیتانیم و  $TiO_{0.34}N_{0.74}$  تشکیل شده اند. مورفولوژی پوشش ها نشان داد که پوشش نمونه اکسید تیتانیم دارای میکرو حفراتی مشهور به ساختار پنکیکی با قطر  $4/1$  میکرون بر روی سطح است. همچنین مورفولوژی سطحی پوشش اکسید تیتانیم نیترووره شده حاکی از تغییر جزئی در سطح و کاهش قطر حفرات به اندازه  $2/8$  میکرون است که دلیل آن نفوذ نیتروژن در پوشش اکسید تیتانیم است. در پایان نیز نتایج امپدانس و پلاریزاسیون مشخص کرد که نمونه اکسید تیتانیم به دلیل ساختار عایق و متراکم اکسیدی مانع از انتقال بیشتر یون خوردنده به سطح فلز شده و مقاومت آن نسبت به دیگر نمونه ها تا  $10$  برابر بهبود یافته است.

**واژه های کلیدی:** اکسیداسیون الکترولیتی پلاسمای، نیتراسیون گازی، اکسید تیتانیم، نیتريد تیتانیم، ساختار پنکیکی، رفتار خوردگی.

### The effect of gas nitriding process on the corrosion behavior of $TiO_2$ coating formed by plasma electrolytic oxidation

H. Bakhtiari-Zamani E. Saebnoori S.A. Hassanzadeh-Tabrizi F. Salahshouri

#### Abstract

This study aimed to investigate the corrosion behavior of  $TiO_2-N$  duplex coating formed by Plasma Electrolytic Oxidation (PEO) and gas nitriding. A  $TiO_2$  film formed on the titanium substrate by PEO in electrolyte containing sodium carbonate and sodium hydroxide in the first step. In the second coating process, the titanium substrate and the titanium oxide coated substrate was nitrided in a tube furnace at  $1000^\circ C$  for 6 hours to compare the corrosion properties of the obtained coatings. X-ray diffraction, scanning electron microscopy of top-surface and cross-sectional structure of the layers, and potentiodynamic polarization along with electrochemical impedance spectroscopy was used to investigate the properties of the coatings. The XRD results showed that the titanium oxide coating consisted of a rutile phase, and the nitrified samples consisted of titanium nitride and  $TiO_{0.34}N_{0.74}$  phases. The morphology of the coatings showed that the titanium oxide sample coating had micropores known as the pancake structure with a diameter of  $4.1$  microns on the surface. Also, the surface morphology of nitrided oxide-coated titanium indicates a slight change in the surface and a reduction in pore diameter of  $2.8$  microns due to the penetration of nitrogen in the titanium oxide coating. Finally, the results of impedance and polarization showed that the titanium oxide sample, due to its insulating and dense oxide structure, prevented the transfer of more corrosive ions to the metal surface, and its resistance was improved up to 10 times compared to other samples.

**Keywords** Plasma electrolytic oxidation, Gas nitration, Titanium oxide, Titanium nitride, Pancake structure, Corrosion behavior.

\* تاریخ دریافت مقاله ۹۸/۴/۱ و تاریخ پذیرش آن ۹۸/۱۰/۱۵ می باشد.

(۱) کارشناس ارشد، مرکز تحقیقات مواد پیشرفته، دانشکده مهندسی مواد، واحد نجف آباد، دانشگاه آزاد اسلامی، نجف آباد، ایران.

(۲) نویسنده مسئول، استادیار، مرکز تحقیقات مواد پیشرفته، دانشکده مهندسی مواد، واحد نجف آباد، دانشگاه آزاد اسلامی، نجف آباد، ایران.

Email: saebnoori@pmt.iaun.ac.ir

(۳) دانشیار، مرکز تحقیقات مواد پیشرفته، دانشکده مهندسی مواد، واحد نجف آباد، دانشگاه آزاد اسلامی، نجف آباد، ایران.

(۴) کارشناس ارشد، مرکز تحقیقات مواد پیشرفته، دانشکده مهندسی مواد، واحد نجف آباد، دانشگاه آزاد اسلامی، نجف آباد، ایران.

## مقدمه

سرعت فرایند نسبتاً زیاد و از لحاظ اقتصادی مقرون به صرفه است و این امکان وجود دارد که برای قطعاتی به هر شکل و اندازه استفاده شود [14-19].

امروزه از نیتروژن دهی به عنوان روشی بسیار مهم در صنعت استفاده می شود. اولین بار نیتروژن دهی به طور صنعتی در سال ۱۹۲۰ استفاده شد. نیتراسیون سطحی باعث افزایش مقاومت سایشی، استحکام خستگی، سختی سطحی و مقاومت خوردگی می شود [۲۰]. تشکیل لایه نیتريدی در تیتانیم و آلیاژهای تیتانیم یک فرایند پیچیده و متشکل از چندین واکنش است که هم زمان در مرز بین گاز و فلز و نیز سطح نمونه در حال رخداد است. اگر دمای عملیات نیتراسیون از  $600^{\circ}C$  بیشتر شود، میزان ترکیب شدن نیتروژن در اکسید تیتانیم افزایش می یابد و از میزان اکسیژن سیستم کاسته می شود تا جایی که ترکیب غیراستوکیومتری  $TiO_xNy$  به حالت استوکیومتری و پایدار  $TiN$  تبدیل می شود [21,22]. در تحقیق ملکی و همکاران [23]، مشاهده شد که کمترین دانسیته جریان خوردگی مربوط به نمونه عملیات حرارتی شده در اتمسفر نیتروژن است. همچنین پتانسیل خوردگی این نمونه نیز نسبت به نمونه عملیات حرارتی شده در اتمسفر آرگون مثبت تر است که تأییدکننده تمایل کمتر به خوردگی است؛ دلیل این امر کاهش سرعت انتقال یون های مخرب  $Cl^-$  به سطح فلز ذکر شده است.

هدف از انجام این پژوهش تأثیر عملیات نیتراسیون گازی بر رفتار خوردگی پوشش اکسید تیتانیم ایجاد شده به روش اکسیداسیون الکترولیتی پلاسمایی است.

## مواد و روش تحقیق

نمونه های آزمایش شده در این تحقیق از جنس تیتانیم خالص تجاری گرید ۲ است که ترکیب شیمیایی آن ها در جدول ۱ ذکر شده است.

نمونه ها از یک ورق تیتانیم خالص تجاری گرید ۲ به ضخامت ۳ میلی متر با ابعاد  $13 \times 13$  میلی متر انتخاب شد. نمونه ها با استفاده از سنادهای  $SiC$  تا شماره ۱۲۰۰ پرداخت و سپس با پودر آلومینای  $5/0$  میکرون پولیش شدند. عملیات حکاکی برای حذف اکسیدهای سطحی، حذف

تیتانیم به واسطه ترکیبی از ویژگی ها مانند نسبت استحکام به وزن و دمای ذوب بالا، مقاومت به خوردگی خوب برای قطعات با کاربری های مکانیکی یا به وسیله مهندسی سطح کاربرد زیادی داشته است و در صنایع هوافضا، دریانوردی و نیز زمینه های زیست پزشکی و بایومدیکال به طور گسترده ای استفاده می شود [1,2].

تیتانیم مقاومت بسیار خوبی به خوردگی در محیط های اسیدی، قلیایی و آلی و... دارد. این خاصیت چشمگیر ناشی از تشکیل آنی لایه رویین اکسیدی بسیار چسبنده، محافظ و پایدار دی اکسید تیتانیم روی سطح تیتانیم در تماس با هوا و بسیاری از محلول های آبی است [3-6]. به عبارت دیگر تیتانیم در شرایط معمولی اکسید می شود، به طوری که در مجاورت هوا و به طور معمول لایه ای از اکسید به ضخامت  $0.1/0$  میکرون و به صورت ناهموار بر روی سطوح قطعات تیتانیمی تشکیل می شود که از سطح فلز محافظت می کند [7]. روش های متفاوتی برای پوشش دهی تیتانیم ارائه شده است که می توان به پاشش پلاسمایی [8]، اکسیداسیون آندی [9]، سئل - ژل (Sol- Gel) [10]، رسوب دهی از فاز بخار (Chemical Vapor(gas) Deposition) [11] و... اشاره کرد. پوشش دهی به روش اکسیداسیون الکترولیتی پلاسمایی (Plasma Electrolytic Oxidation) روش نسبتاً جدیدی بوده است که با نام های دیگری مانند میکرو قوس الکتریکی (Micro- Arc Oxidation) و رسوب جرقه آندی نیز شناخته می شود [۱۲]. پوشش های اعمال شده به روش PEO دارای یک ساختار دولایه شامل یک لایه عایق و یک لایه متخلخل است. پوشش های اعمال شده با این روش دارای چسبندگی مناسب به زیر لایه بوده است که کارایی آن را افزایش می دهد [۱۳].

به طور کلی روش اکسیداسیون الکترولیتی پلاسمایی بر پایه پلاریزاسیون آندی مواد تحت فرایند در یک الکترولیت آبی، در شرایط تخلیه پلاسمایی روی سطح آند استوار است. این فرایند برای فلزاتی چون آلومینیم، تیتانیم و منیزیم و آلیاژ های آن ها به کار برده می شود. امروزه تمایل رو به افزایشی در زمینه کاربرد این پوشش وجود دارد،

گونه‌های شیمیایی استفاده شد. آنالیز FTIR بر روی پوشش TiO<sub>2</sub>-N به دست آمده با استفاده از دستگاه طیف‌سنجی مادون قرمز مدل Thermo scientific برای شناسایی پیوندهای ایجاد شده در طول موج ۴۰۰ تا ۴۰۰۰ cm<sup>-1</sup> انجام شد. برای بررسی‌های مورفولوژی از دستگاه میکروسکوپ الکترونی گسیل میدانی مدل Mira 3 TESCAN- XMU با بزرگ‌نمایی تا بیش از ۷۰۰۰۰۰ برابر استفاده شد. همچنین از دستگاه میکروسکوپ الکترونی روبشی مدل LEO 435VP با رزولوشن ۴ نانومتر و بزرگ‌نمایی ۱۵ تا ۱۲۰۰۰۰ برابر برای تصویربرداری از مقطع استفاده شد. ارزیابی رفتار خوردگی نمونه‌ها در محلول کلرید سدیم ۳/۵ درصد در دمای محیط انجام شد. نمونه‌ها در این آزمایش به وسیله دستگاه پتانسیواستات/گالوانواستات EG&G مدل PARSTAT 2273 ارزیابی شدند. نمونه‌های آزمایش شده، قبل از انجام تست برای پایداری پتانسیل، ۳۰ دقیقه درون محلول یاد شده قرار داده شدند. از الکتروود مرجع کالومل اشباع، الکتروود کمکی گرافیت و الکتروود کاری به عنوان مجموعه سل الکتروشیمیایی استفاده شد. میزان سرعت روبش امیلی ولت بر ثانیه بود. شاخه کاتدی تقریباً از ۰/۲۵ ولت منفی‌تر از پتانسیل مدار باز نمونه شروع می‌شد و تا حدود ۲ ولت به سمت مقادیر نجیب در شاخه آندی ادامه می‌یافت. از نرم‌افزار Corr View برای تحلیل نتایج به دست آمده استفاده شد. آزمون طیف‌سنجی امپدانس الکتروشیمیایی در ۳۰ نقطه در محدوده ۱۰ mHz تا ۱۰۰ kHz در پتانسیل مدار باز ۱۰ mV ± انجام و نتایج آن با نرم‌افزار Z View تحلیل شد.

چربی آلاینده‌های سطح در محلول هیدروفلوئوریک اسید، اسیدنیتریک و آب مقطر با نسبت ۳۰:۱۰:۱ (درصد حجمی) به مدت ۹۰ ثانیه به صورت غوطه‌ور انجام شد.

فرایند پوشش‌دهی در مرحله اول به روش اکسیداسیون پلاسمای الکترولیتی برای ایجاد اکسید تیتانیم صورت پذیرفت. از ترکیب ۰/۲ مولار سدیم کربنات با ۵ گرم بر لیتر هیدروکسید سدیم برای ایجاد پوشش اکسید تیتانیم استفاده شد. شرایط عملیات پوشش‌دهی با فرایند PEO مطابق جدول ۲ در نظر گرفته شد.

عملیات پوشش‌دهی تکمیلی در مرحله دوم به روش نیتراسیون گازی در کوره تیوبی همراه با دمش گاز N<sub>2</sub> (۹۹/۹۹ درصد) انجام شد. در این مرحله، یک نمونه تیتانیمی (TiN) همراه با نمونه پوشش داده شده اکسید تیتانیم (TiO<sub>2</sub>-N) درون کوره قرار داده شدند. عملیات نیتراسیون با دمای ۱۰۰۰ درجه سانتی‌گراد و فشار نیتروژن ۱/۵ bar در مدت ۶ ساعت انجام شد.

برای شناسایی فازهای موجود در سطح نمونه‌های پوشش داده شده، آزمایش پراش سنجی پرتو X بر روی آن‌ها انجام شد. پراش سنج پرتو ایکس استفاده شده، ساخت شرکت Philips مدل PW 1730 و مجهز به تک‌فام‌ساز بلوری پرتو K $\alpha$ -Cu با طول موج ۱/۵۴ آنگستروم بوده است. در همه آزمایش‌ها گام پراش سنج ۰/۰۵ درجه و زمان هر گام ۱ ثانیه انتخاب شد. از اسپکتروسکوپی مادون قرمز به عنوان روشی پر قدرت و توسعه یافته برای تعیین ساختار و اندازه‌گیری

جدول ۱ ترکیب شیمیایی اسمی تیتانیم خالص تجاری گرید ۲ (درصد Wt)

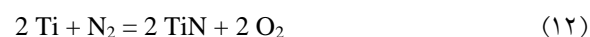
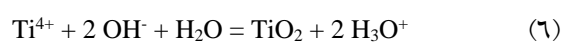
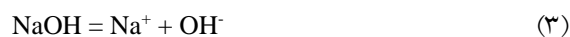
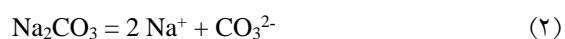
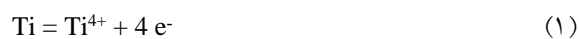
Fe	H	C	N	O	Residual	Ti
<۰/۳	<۰/۰۱۵	<۰/۰۸	<۰/۰۳	<۰/۲۵	<۰/۴	Balance

جدول ۲ شرایط سیستماتیک دستگاهی در فرایند پوشش‌دهی TiO<sub>2</sub>

نمونه	نوع جریان	دانسیته جریان (mA/Cm <sup>2</sup> )	فرکانس (Hz)	سیکل کاری (درصد)	زمان فرایند (Min)
TiO <sub>2</sub>	پالسی تک قطبی	۱۰۰	۱۵۰۰	۱۰	۱۰

## نتایج و بحث

تولید  $TiO_2$ ،  $TiN$  و  $Ti(O_{2-x}N_x)$  وجود دارد، عبارت‌اند از:

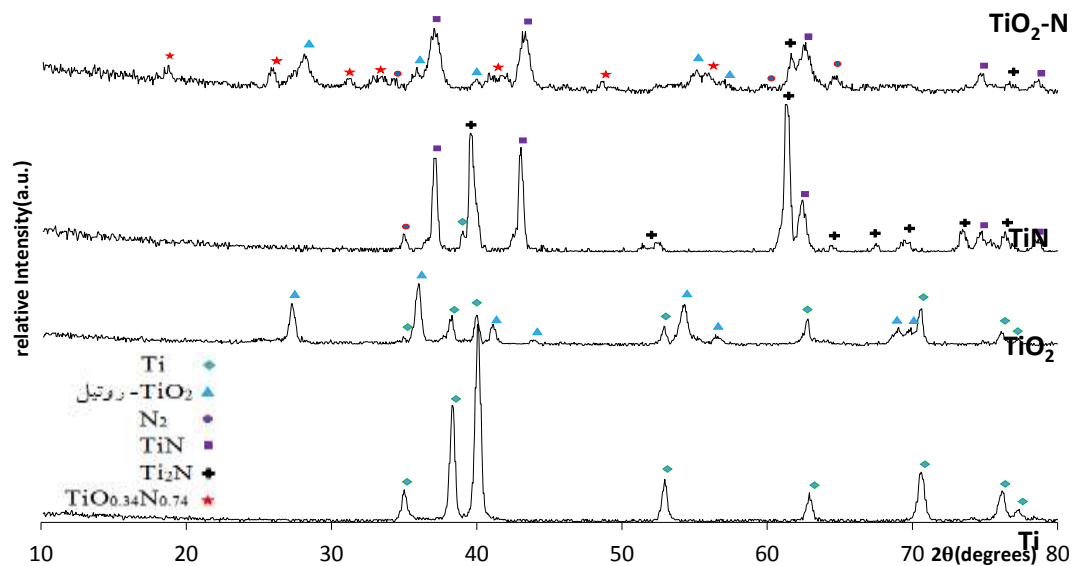


در راستای تأیید آنالیز XRD و مشخص شدن پیوند بین اکسیژن و نیتروژن در پوشش  $TiO_2-N$ ، از نمونه یادشده آنالیز FTIR گرفته شد که در شکل ۲ ملاحظه می‌شود.

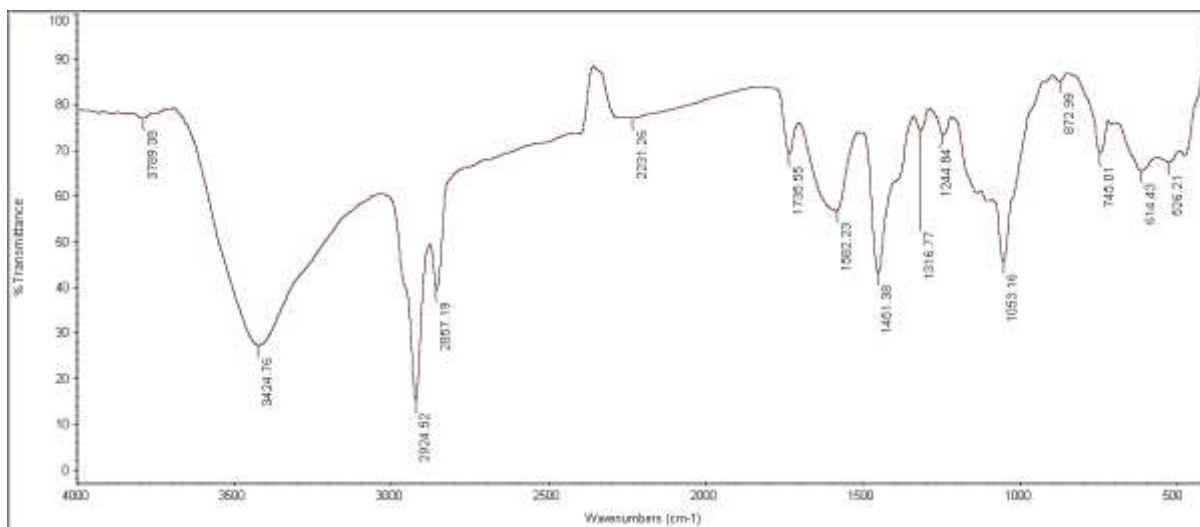
در طیف FTIR، باندهای جذب در عددهای موج حدود  $660$ ،  $1070$ ،  $1244$ ،  $1316$ ،  $1582$  و  $2360 \text{ cm}^{-1}$  مشخص شده که در تحقیق احمدپور و همکاران [۲۸] نیز تأیید شده است. باند جذب در عدد  $660 \text{ cm}^{-1}$  به وضعیت‌های کششی  $Ti-O$  و  $Ti-O-Ti$  نسبت داده می‌شود. همچنین پیک‌های باند  $1244$ ،  $1316$ ،  $1582$  و  $2360 \text{ cm}^{-1}$  متناظر با ارتعاشات کششی پیوندهای  $N=O$  و  $N-O$  است. پیک در عدد موج  $1070 \text{ cm}^{-1}$  نیز به ارتعاش باند  $Ti-N$  نسبت داده شده است.

شکل ۱ الگوهای پراش پرتو  $X$ ، پس از انجام فرایندهای اکسیداسیون پلاسمای الکترولیتی و نیتراسیون گازی را در مقایسه با یکدیگر و فلز زیرلایه نشان می‌دهد. الگوی پراش پرتو  $X$  نمونه  $TiO_2$  مربوط به نمونه پوشش داده‌شده به روش PEO است که شامل اکسید تیتانیم کریستالی روتیل با ساختار تتراگونال است. در این الگو تعدادی پیک تیتانیم دیده می‌شود که به دلیل نفوذ بالای اشعه ایکس در حفرات پوشش است. شرایط پوشش‌دهی برای این نمونه طوری بوده که میزان فاز آناتاز بسیار کم است؛ دلیل این امر اثرات گرمایشی جرقه‌های پلازما در طول عملیات پوشش‌دهی و ایجاد دمای بالای  $400^\circ\text{C}$  است، به عبارت دیگر مکانیزم غالب تشکیل این لایه اکسیدی، اکسیداسیون حرارتی بوده است [25, 26]. الگوی XRD نمونه  $TiN$  مربوط به نمونه پوشش‌دهی شده به روش نیتراسیون گازی است. تشکیل لایه نیتروژن در جریان گاز نیتروژن بر روی سطح تیتانیم خالص تجاری در دمای بالا سبب جذب نیتروژن در سطح و نفوذ آن به داخل تیتانیم می‌شود؛ به عبارت دیگر در نتیجه واکنش نیتروژن یک لایه نیتروژن‌شده تشکیل می‌شود که شامل یک لایه ترکیبی بر روی سطح فلز است که عمدتاً شامل نیتروژن‌های تیتانیم با ساختار مکعبی همچون  $TiN$  و  $Ti_2N$  است و به دنبال آن یک منطقه نفوذی متشکل از یک محلول جامد در فاز  $\alpha-Ti$  HCP است. همان‌طور که در الگوهای نمونه‌های نیتراسیون گازی مشاهده می‌شود، پیک‌های  $TiN$ ،  $Ti_2N$  و گاهی  $\alpha-(N)$  با پیک تیتانیم هم‌پوشانی دارند که دلیل آن وجود محلول جامد  $\alpha-Ti$  با نیتروژن است [26, 27]. در الگوی نمونه  $TiO_2-N$  علاوه بر فازهای یادشده  $\delta-TiN$ ،  $\epsilon-Ti_2N$  و  $N_2$ ، فاز  $TiO_{0.34}N_{0.74}$  با ساختار منوکلینیک همراه با  $TiO_2$  روتیل نیز مشاهده می‌شود. فاز  $TiO_{0.34}N_{0.74}$  ناشی از وجود نیتروژن در ساختار  $TiO_2$  است که سبب شده است از میزان اکسیژن اکسید تیتانیم کاسته شود و بر میزان نفوذ و تشکیل فاز یادشده افزوده شود و ترکیبی غیراستوکیومتری به وجود آورد. پیک‌های حاصل شده از این نمونه پهن‌تر از دیگر نمونه‌های  $TiO_2$  و  $TiN$  است که حاکی از کوچک‌تر شدن اندازه کریستال‌هاست.

به‌طورکلی واکنش‌هایی که امکان رخ‌دادن آن‌ها برای



شکل ۱ نمودار XRD نمونه‌های بدون پوشش و پوشش داده شده به روش PEO و نیتراسیون گازی



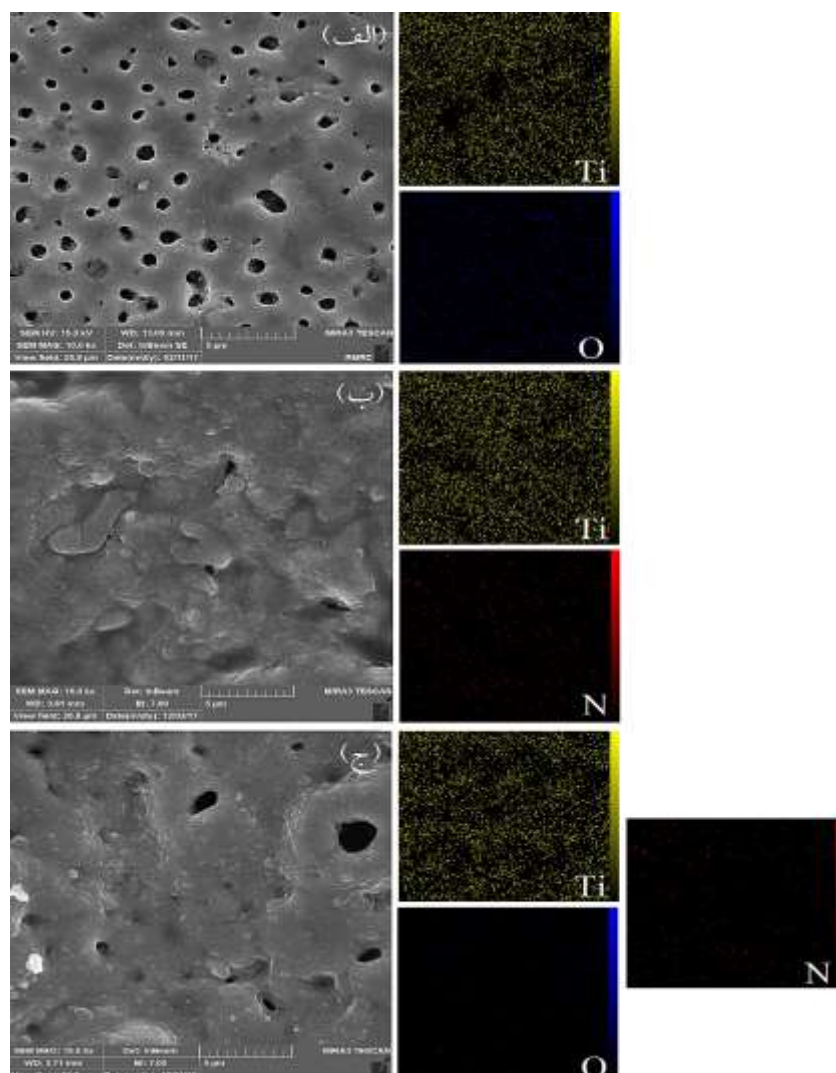
شکل ۲ نمودار FTIR نمونه پوشش دار دولایه TiO2-N

متراکم را نشان می‌دهد که لایه نیترو شده، کامل روی سطح تشکیل شده است. نمونه یاد شده دارای نقایص زیادی از جمله چاله‌های کوچک و میکرو شکاف‌هایی در سطح است. مطابقت نداشتن انقباض حرارتی بین فازهای به دست آمده می‌تواند به تولید تنش حرارتی باقی مانده در طول خنک شدن از دمای نیتراسیون به دمای اتاق منجر شود؛ از طرفی هم نقص‌های موجود ساختارهای نیتریدی و اکسیدی می‌توانند

شکل ۳ تصاویر میکروسکوپ الکترونی روبشی سطح نمونه‌های پوشش داده شده به روش PEO و نیتراسیون گازی را نشان می‌دهد. ساختار نمونه TiO2 (۳-الف) شامل دانه‌هایی با سایزهای مختلف و میکرو حفراتی روی این دانه‌هاست (ساختار پنکیکی) [۲۹]. سطح خارجی این پوشش، ظاهری مشخص دارد، یعنی سطح پوشش شامل تعداد زیادی تخلخل با اندازه‌های مختلف است. نمونه TiN (۳-ب) ظاهری

نیتروژن دهی بوده که باعث تبلور ذرات سطحی  $TiO_2$  شده است. توزیع عناصر بر روی سطح پوشش های  $TiO_2$ ،  $TiN$  و  $TiO_2-N$  در شکل ۳ ملاحظه می شود، به طوری که در نمونه  $TiO_2$  میزان اکسیژن حدود ۴۶/۵ درصد وزنی است و در نمونه  $TiN$  میزان توزیع نیتروژن حدود ۳۳/۷ درصد وزنی است. در نمونه  $TiO_2-N$  نیتروژن به درون پوشش اکسید تیتانیم و فلز تیتانیم به صورت یکنواخت نفوذ کرده است، به طوری که میزان اکسیژن و نیتروژن به ترتیب ۲۶/۲ و ۲۲/۴ درصد وزنی مشخص شد.

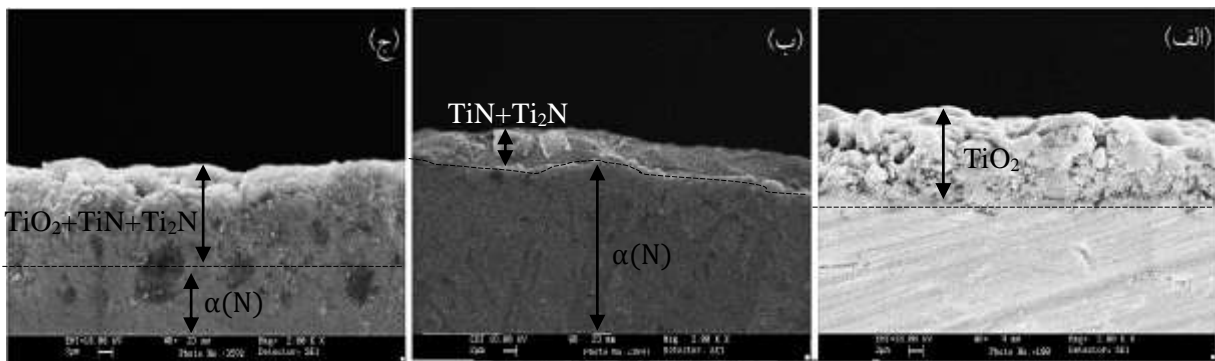
سبب ایجاد تنش باقی مانده شود [30]. به طور کلی، تنش باقی مانده بالا می تواند باعث ایجاد ترک و کندگی در پوشش و تغییر مورفولوژی شود. مورفولوژی سطح نمونه  $TiO_2-N$  (۳-ج) مشابه ساختار نمونه  $TiO_2$  است، با این تفاوت که در کنار حفرات موجود ذرات کروی شکل پدید آمده است که اصطلاحاً به آن ساختار گل کلمی گفته می شود. حفرات نمونه  $TiO_2-N$  نسبت به نمونه  $TiO_2$  کوچک تر و گاهی محو شده که علت آن نفوذ نیتروژن در ساختار اکسید تیتانیم است (قطر تخلخلها از ۴/۱ میکرون به ۲/۸ کاهش یافته است). دلیل وجود این ساختار نیز تأثیر حرارت ناشی از عملیات



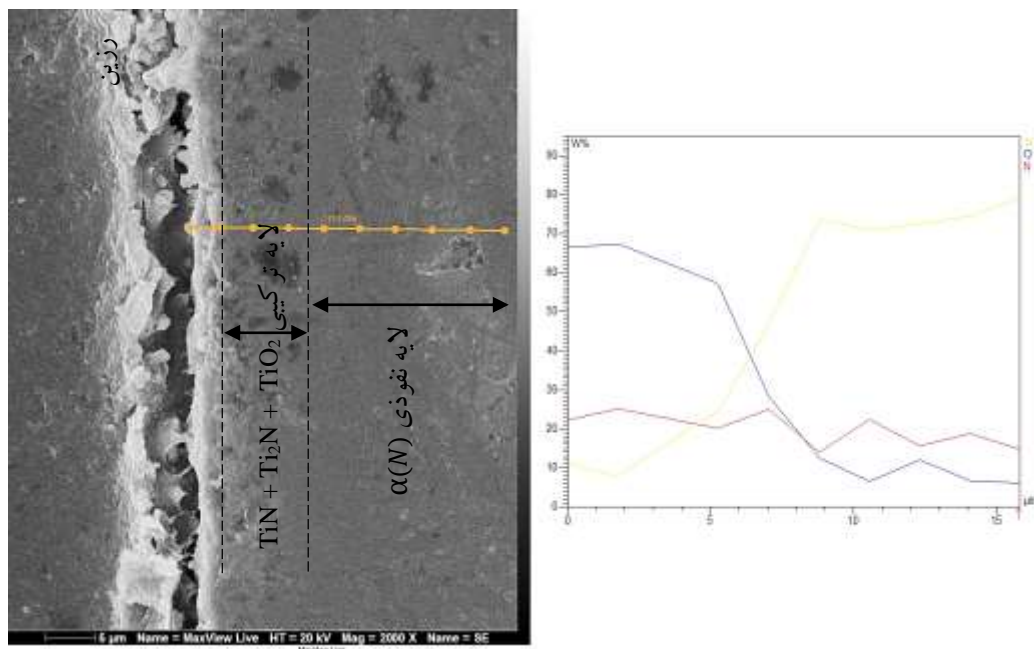
شکل ۳ تصاویر SEM: (الف)  $TiO_2$  پوشش داده شده به روش PEO، (ب)  $TiN$  پوشش داده شده به روش نیتراسیون گازی و (ج) پوشش  $TiO_2$  نیتروژن شده (دوپلکس)

شکل ۵ تصویر SEM الکترون برگشتی و آنالیز خطی پوشش  $TiO_2-N$  است. باتوجه به تصویر SEM الکترون برگشتی منطقه نفوذی و لایه ترکیبی  $TiN$ ،  $Ti_2N$  و  $TiO_2$  گاهی  $TiO_xN_y$  ملاحظه می شود. آنالیز اسکن خطی نمونه یاد شده نشان داد که از سطح تا عمق ۱۵ میکرومتر میزان نیتروژن ثابت است، در صورتی که تا عمق حدود ۹ میکرون میزان اکسیژن که مربوط به پوشش اکسیدی است، زیاد بوده است، در حالی که میزان تیتانیوم، رفتاری برعکس اکسیژن دارد.

شکل ۴ تصاویر سطح مقطع نمونه های پوشش داده شده  $TiO_2-N$  و  $TiN$ ،  $TiO_2$  را نشان می دهد. باتوجه به تصاویر ملاحظه می شود که ضخامت نمونه ها به ترتیب ۷/۹، ۳/۳ (۳/۳ میکرون لایه ترکیبی  $TiN$  و  $Ti_2N$ ، حدود ۲۵ میکرون لایه نفوذی) و ۸/۷ میکرومتر است. همان طور که ملاحظه می شود، پس از انجام عملیات نیتراسیون گازی بر روی پوشش  $TiO_2$  اکسیداسیون پلاسمای الکترولیتی، شاهد پر شدن منافذ و تخلخل های مقطع هستیم که به معنای نفوذ نیتروژن در پوشش اکسید تیتانیوم است.



شکل ۴ تصاویر سطح مقطع نمونه های پوشش داده شده: (الف)  $TiO_2$ ، (ب)  $TiN$  و (ج)  $TiO_2-N$



شکل ۵ تصویر آنالیز خطی سطح مقطع نمونه پوشش داده شده  $TiO_2-N$

پتانسیل خوردگی برحسب زمان چنین گفته می‌شود که نبود تعادل میان واکنش‌های شیمیایی خوردگی موجب چنین نوساناتی می‌شود و این که یک نمونه از نوساناتی برخوردار است که می‌تواند با زبری سطح آن رابطه داشته باشد، به‌گونه‌ای که میزان نوسانات یک نمودار پتانسیل خوردگی برحسب زمان نسبت مستقیمی با میزان حفرات و چاله‌ها در سطح نمونه دارد [۳۳]. گفتنی است که نمونه  $TiO_2-N$  دارای پتانسیل مثبت تری (+۱۵ mV) نسبت به ۲ نمونه پوشش‌دار  $TiO_2$  و  $TiN$  است.

شکل ۷ و جدول ۳ به ترتیب نمودار پلاریزاسیون پتانسیو دینامیک و داده‌های منحنی پلاریزاسیون را نشان می‌دهند. این آزمون برای مقایسه رفتار خوردگی نمونه‌های بدون پوشش و پوشش‌دار در محلول ۳/۵ درصد وزنی سدیم کلرید پس از ۳۰ دقیقه غوطه‌وری انجام شد.

شیب منحنی‌های کاتدی نمونه‌های بررسی شده نشان می‌دهد که روند افزایشی شیب آن‌ها به صورت  $TiN > Ti > TiO_2-N > TiO_2$  تغییر یافته است؛ از افزایش تغییر شیب مشخص می‌شود که مکانیزم واکنش انجام شده تحت کنترل مکانیزم کاتدی است، زیرا وقتی مکانیزم کنترل کاتدی باشد، میل پتانسیل خوردگی در جهت فعال‌تر شدن بوده که نشانگر افزایش سرعت خوردگی است [۳۴]. درباره نمونه‌های پوشش‌داده شده مشاهده می‌شود که اولین اثر در آن‌ها این است که شاخه آندی نمودار به سمت چپ کشیده می‌شود، اما به دلیل وجود حفرات و ترک‌ها، سطح قطعه تحت تهاجم یون خورنده قرار می‌گیرد. در نتیجه این شاخه‌ها شکسته و به سمت چگالی جریان بالا متمایل می‌شوند. شیب آندی پوشش‌ها و نمونه بدون پوشش دارای تغییر زیادی بوده است که در تحلیل آن می‌توان گفت در نمونه بدون پوشش سطح بلافاصله بعد از پلاریزه شدن و طی کردن دانسیته جریانی در حدود  $10^{-2}$  شروع به پسیوشدن می‌کند و لایه مقاوم اکسیدی بر روی سطح فلز به وجود می‌آورد و تا پتانسیل حدود ۲ V ادامه دارد (در پتانسیل حدود ۰/۵ V و دانسیته جریان  $A/I^2$   $10^{-5}$  یک نویز به وجود آمده است که احتمالاً ناشی از آزاد شدن حباب اکسیژن بر روی سطح فلز است). تغییرات در شاخه نمونه  $TiN$  شامل ۳ مرحله است: در مرحله اول و

شکل ۶، نمودار تغییرات پتانسیل مدار باز (OCP) (Open Circuit potential) با گذشت زمان را در محیط ۳.۵ درصد  $NaCl$  Wt نشان می‌دهد. پتانسیل مدار باز یک پارامتر مناسب برای ارزیابی تمایل به خوردگی ماده در یک محیط خاص است و هر قدر این مقدار منفی‌تر باشد، تمایل به خوردگی بیشتر است. بنابراین از ارزیابی پتانسیل مدار باز برای پیش‌بینی تمایل به خوردگی پوشش استفاده می‌شود [۳۱].

همان‌گونه که در این شکل مشاهده می‌شود، مقدار پتانسیل مدار باز زیر لایه در لحظات اولیه غوطه‌وری به سرعت افزایش می‌یابد. این امر بیانگر پایداری لایه اکسید تیتانیم طبیعی تشکیل شده روی سطح در شرایط آزمایش است. پس از ۳۰ دقیقه، مقدار پتانسیل مدار باز تیتانیم به یک مقدار شبه پایدار می‌رسد که بیانگر حل شدن فعال تیتانیم در محیط خورنده و تشکیل لایه اکسیدی بر روی سطح است [32].

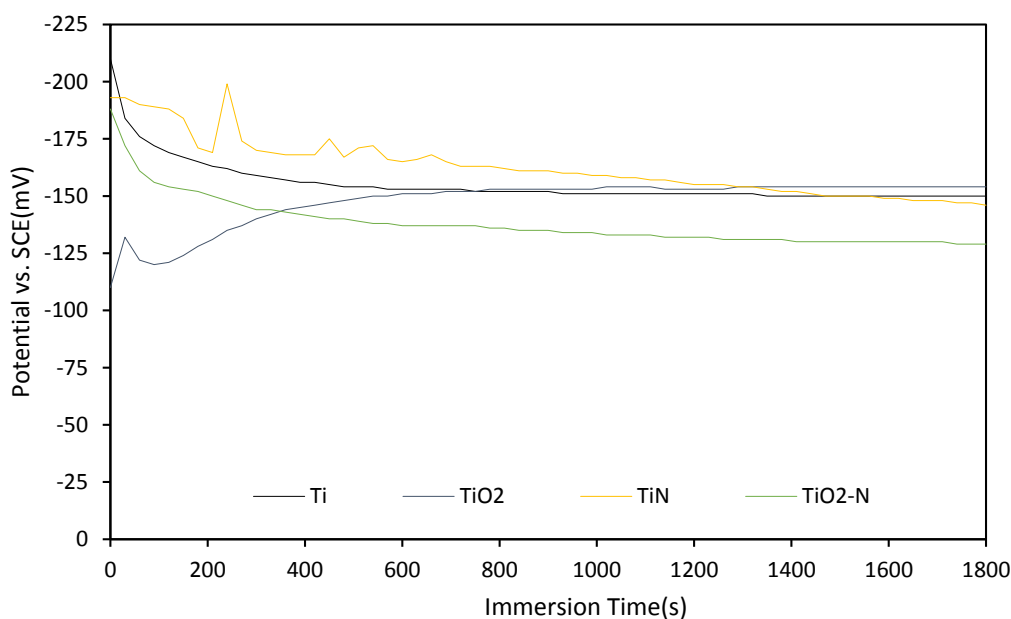
مقدار پتانسیل مدار باز نمونه  $TiO_2$  نسبت به زیر لایه در ابتدای زمان غوطه‌وری کاهش چشمگیری داشته، در حالی که اختلاف این مقدار برابر ۰/۱ mV + است؛ این امر بیانگر کاهش نسبی پایداری ترمودینامیکی در اثر ایجاد لایه اکسیدی حاوی فاز روتیل و آناتاز است.

نمونه نیترووره شده  $TiN$  دارای نوساناتی در زمان‌های ابتدایی غوطه‌وری است که پس از حدود ۴ دقیقه ناگهان کاهش شدیدی در پتانسیل از خود نشان می‌دهد که این امر به دلیل وجود چاله‌ها و بسته شدن سریع آن‌ها در اثر حضور محصولات خوردگی در داخل حفرات خوردگی است. به عبارت دیگر به محض پر شدن یک حفره به وسیله محصولات خوردگی، حفره دیگری وارد عمل و موجب آزاد شدن یون‌ها در محلول می‌شود که خود پتانسیل خوردگی را به مقادیر منفی‌تر سوق می‌دهد [۳۱ و ۳۳]. لازم به ذکر است که نمونه  $TiO_2-N$  نیز دارای رفتاری مشابه نمونه  $TiN$  است با این تفاوت که میزان نوسان ایجاد شده در نمونه یاد شده بسیار کمتر است، زیرا بیشتر حفرات پوشش اکسیدی ایجاد شده به روش اکسیداسیون الکترولیتی پلاسمایی در عملیات نیتراسیون گازی پر شده است. درباره نوسانات

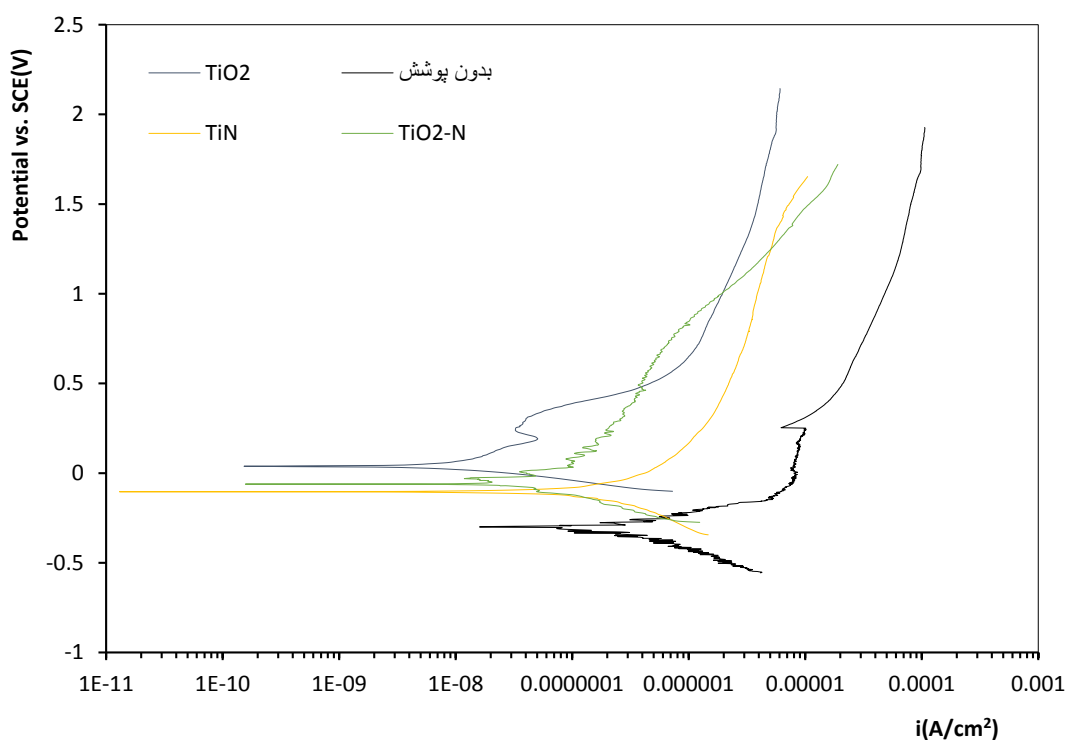


[35]. تفاوت شاخه‌های آندی نمونه‌های  $\text{TiO}_2$ -N و  $\text{TiO}_2$  به دلیل وجود نیتروژن در ساختار پوشش اکسیدی است. در بحث کلی برای این نمونه‌ها می‌توان گفت که میزان خوردگی اولیه در نمونه  $\text{TiO}_2$ -N کمتر از نمونه  $\text{TiO}_2$  است و بلافاصله بعد از شروع شاخه آندی مانند نمونه  $\text{TiN}$  رفتار کرده است، اما به دلیل واکنش‌های احتمالی رخ داده ناشی از وجود نیتروژن در  $\text{TiO}_2$  این فیلم شکسته و مجدد در پتانسیل بالاتر رفتار اکسیدی پیدا کرده و شروع به پسیوشدن کرده است. به عبارت بهتر می‌توان گفت که نمونه  $\text{TiO}_2$ -N یک رفتار دوگانه مشابه نمونه‌های  $\text{TiO}_2$  و  $\text{TiN}$  را ایفا می‌کند. به طور کلی هنگامی که دانسیته جریان بحرانی پسیو کم باشد، لایه محافظ به راحتی تشکیل می‌شود و هرچه دانسیته جریان پسیو کمتر و پتانسیل ترنس پسیو بیشتر باشد، این لایه محافظ پایدارتر خواهد بود [35].

شروع ناحیه آندی اندکی سطح دچار خوردگی شده است و پس از آن در مرحله دوم سطح پسیوشده و در پتانسیل  $1/5 \text{ V}$  این لایه محافظ ایجاد شده بر روی پوشش نیترووره شده شکسته می‌شود (مرحله سوم). ایجاد شدن لایه محافظ اکسیدی در  $\text{TiN}$  ناشی از نفوذ یون کلر در حفرات و ترک‌های سطحی این پوشش است که پس از تماس با سطح فلز در ناحیه فصل مشترک فلز/پوشش، اندکی سطح فلز دچار خوردگی شده و نهایتاً به دلیل رفتار اکتیو-پسیو  $\text{Ti}$  این ناحیه روئین و باعث ایجاد ناحیه دوم شده است که با افزایش پتانسیل این فیلم شکسته می‌شود و خوردگی را تشدید می‌کند (همه نمونه‌ها، ناحیه فعالی را در ابتدای شاخه آندی خود نشان می‌دهند که در آن دانسیته جریان به سرعت افزایش می‌یابد. این افزایش سریع دانسیته جریان در ناحیه فعال اساساً ناشی از فرایند اکسیداسیون فلز در فصل مشترک فلز/اکسید است و دوباره لایه غیرفعال ضعیف‌تری تشکیل می‌شود



شکل ۶ نمودار پتانسیل مدار باز نمونه‌های پوشش داده شده و بدون پوشش



شکل ۷ نمودار پلاریزاسیون پتانسی و دینامیک نمونه‌های بدون پوشش و پوشش داده شده به روش PEO و نیتراسیون گازی

جدول ۳ نتایج نمودار پلاریزاسیون پتانسیو دینامیک نمونه‌های بدون پوشش و پوشش داده شده به روش PEO و نیتراسیون گازی

نمونه	$\beta_c$ (mV/decade)	$\beta_a$ (mV/decade)	$E_{corr}$ (mV vs. SCE)	$I_{corr}$ (nA/cm <sup>2</sup> )	$I_{passivation}$ ( $\mu A/cm^2$ )	$R_p$ (K $\Omega$ .cm <sup>2</sup> )	$V_{corr}$ ( $\mu m/yea$ r)
بدون پوشش	-۲۰۴	۱۳۰	-۳۰۰	۲۴۲/۰۱	۶/۳۷	۱۰۱	۸۳/۲
TiO <sub>2</sub>	-۷۴	۱۹۵	۴۰	۸/۴۴	۱/۲۷	۱۰۷۲	۲/۹
TiN	-۲۳۲	۲۸۰	-۱۳۰	۲۰۱/۸۰	۳/۶	۱۹۰	۶۹/۴
TiO <sub>2</sub> -N	-۱۷۰	۱۶۲	-۳۱	۳۰/۲۲	۰/۸۴	۵۸۵	۱۰/۴

که تمایل به خوردگی نمونه  $TiO_2$  کمتر از نمونه  $TiN$  و  $TiO_2-N$  است که احتمالاً دلیل آن نفوذ زیاد نیتروژن در شبکه اکسید تیتانیم است. به عبارت بهتر وجود نیتروژن در ساختار  $TiO_2$  سبب شد پوشش دارای هدایت الکتریکی شود و از حالت عایق به یک نیمه هادی تبدیل شود که این امر سبب واکنش پذیری (انتقال الکترون و تبادل بار الکتریکی) بیشتر در سطح پوشش و نهایتاً افزایش سرعت خوردگی شده است. تغییر شیب چشمگیر در نمونه‌ها رخ داده است که نقطه عطف آن بر پتانسیل‌هایی دلالت دارد که عملاً سینتیک تشکیل

نتایج نشان می‌دهد که پتانسیل خوردگی به عنوان معیاری از تمایل ترمودینامیکی به خوردگی پوشش در مقایسه با نمونه بدون پوشش، افزایش می‌یابد که این به معنای پایداری شیمیایی بیشتر و تمایل به خوردگی کمتر است. به عبارت بهتر پتانسیل خوردگی پوشش‌ها نیز نسبت به پتانسیل خوردگی نمونه بدون پوشش به مقادیر مثبت‌تر تغییر پیدا کرده که بیانگر کنترل آندی فرایند خوردگی به وسیله این پوشش‌هاست. پتانسیل خوردگی نمونه‌ها به صورت  $TiO_2 > TiO_2-N > TiN > Ti$  تغییر کرده است؛ این بدین معنی است

لایه‌های سطحی را تغییر داده است.

ملاحظه شد که کمترین سرعت خوردگی مربوط به نمونه  $\text{TiO}_2$  با  $2/9 \mu\text{m}/\text{year}$  و کاهش ۲۸ برابری نسبت به نمونه بدون پوشش است.

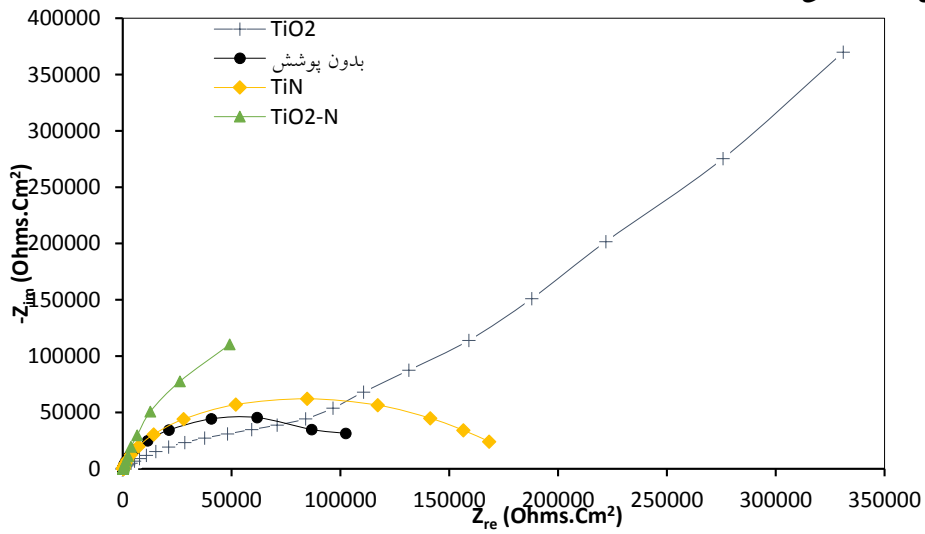
شکل ۸ نمودارهای نایکوئیست (Nyquist) و باد (Bode) را برای نمونه‌های بدون پوشش و پوشش‌دهی شده پس از ۳۰ دقیقه غوطه‌وری در محلول  $\text{NaCl}$  ۳/۵ درصد مشخص می‌کند. همچنین شکل ۹ مدار معادل و جدول ۵ اطلاعات استخراج شده از نمودارها و مدار معادل معرفی شده را نشان می‌دهد. مکانیزم عملکرد مقاومت به خوردگی پوشش‌های ایجاد شده با طیف‌سنجی امپدانس الکتروشیمیایی بررسی شد که روش قدرتمندی در ارزیابی رفتار خوردگی پوشش‌هاست.

منحنی‌های نایکوئیست زیر لایه تیتانیم بدون پوشش و پوشش  $\text{TiN}$  دارای یک نیمه حلقه خازنی در همه فرکانس‌هاست. این رفتار به دلیل تشکیل یک لایه الکتریکی بر روی سطح نمونه و ظاهر شدن یک ثابت زمانی در مدار معادل ارائه شده است. با اندازه‌گیری قطر نیمه حلقه در منحنی نایکوئیست زیر لایه، مقاومت به خوردگی آن به دست آمد. در مقابل، منحنی نایکوئیست نمونه دارای پوشش  $\text{TiO}_2$  دارای یک نیمه حلقه خازنی همراه با ثابت واربرگ باز (Warburg Open terminus) است. در این مدار معادل، نیمه حلقه خازنی رفتار امپدانس پوشش را در فرکانس‌های بالا برای ۲ لایه متخلخل و متراکم نشان می‌دهد، همچنین عنصر واربرگ پدیده نفوذ را بر اثر سرعت تبادل بار بین فلز و گونه‌های الکترواکتیو حفرات راه به در را در فرکانس‌های کم نمایان می‌کند. رفتار امپدانس واربرگ چیزی بین یک مقاومت ایدئال و یک خازن ایدئال است [37]. منحنی نایکوئیست نمونه دوپلکس  $\text{TiO}_2\text{-N}$  دارای ۲ ثابت زمانی در مدار معادل پیشنهادی است که حلقه کوچک‌تر در فرکانس‌های بالا مربوط به لایه نیترووره شده و متخلخل خارجی بوده و در مقابل حلقه بزرگ‌تر در فرکانس‌های پایین مربوط به پوشش متراکم  $\text{TiO}_2$  و لایه دوگانه است. به طور کلی رفتار خازنی در فرکانس بالا نمایانگر فعالیت پوشش است و در واقع افزایش آن نشان از اشباع شدن پوشش از محصول خورنده دارد و حلقه موجود

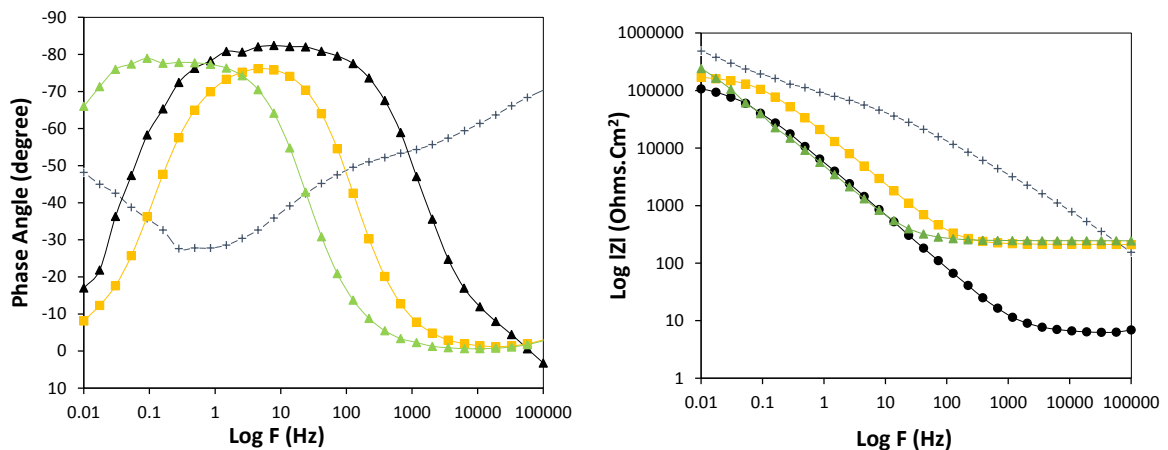
دانسیتة جریان خوردگی به کمک برون‌یابی تافل و از برخورد خطوط مماس بر ناحیه خطی شاخه آندی و کاتدی به دست آمد. تغییر دانسیته جریان خوردگی نمونه‌های پوشش‌دهی شده حاکی از محدود شدن واکنش‌های آندی و پایداری شیمیایی بالاتر نسبت به تیتانیم است؛ به عبارت دیگر کاهش دانسیته جریان بیانگر کاهش نرخ واکنش‌های الکتروشیمیایی یا مهار شدن واکنش‌های خوردگی است. باتوجه به داده‌های جدول ۴ ملاحظه می‌شود که دانسیته جریان خوردگی برای نمونه‌های  $\text{TiO}_2$ ،  $\text{TiO}_2\text{-N}$  و  $\text{TiN}$  به ترتیب ۳۰، ۸ و ۲ برابر نسبت به نمونه بدون پوشش کاهش یافته است.

مقاومت پلاریزاسیون براساس رفتار پلاریزه خطی در نزدیکی پتانسیل مدار باز یا همان برون‌یابی تافلی شیب خطوط محاسبه می‌شود. به طور کلی پوشش‌ها می‌توانند مقاومت به خوردگی را با افزایش مقاومت انتقال بار در فصل مشترک فلز-الکترولیت، محدود کردن جذب یون‌های مهاجم و افزایش پتانسیل زیر لایه، افزایش دهند [۳۶]. در تحلیل کلی مقاومت به خوردگی نمونه‌ها، می‌توان گفت که پوشش  $\text{TiO}_2$  با افزایش ضخامت و تراکم، راه نفوذ محلول خورنده به زیر لایه را محدود کرده و باعث بهبود مقاومت به خوردگی شده است. همچنین پوشش نمونه  $\text{TiN}$  با ایجاد یک لایه محافظ نیتریدی، مقاومت پلاریزاسیون تیتانیم را افزایش می‌دهد، اما به دلیل فعال‌تر بودن نسبت به اکسید تیتانیم، مقاومت آن کمتر است. پوشش دوپلکس  $\text{TiO}_2\text{-N}$  مقاومتی بین نمونه‌های  $\text{TiO}_2$  و  $\text{TiN}$  دارد، زیرا دارای رفتاری دوگانه است؛ یعنی ایجاد پوشش اکسیدی روی تیتانیم، سطح مؤثر برای روی دادن مکانیزم‌های خوردگی را کاهش می‌دهد، اما وجود نیتروژن اضافه شده در ساختار سبب افزایش واکنش‌پذیری این نمونه در مواجهه با یون‌های خورنده می‌شود و مقاومت به خوردگی را کاهش می‌دهد. باتوجه به جدول داده‌ها می‌توان گفت که مقاومت به خوردگی نمونه‌های پوشش‌دار  $\text{TiO}_2$ ،  $\text{TiN}$  و  $\text{TiO}_2\text{-N}$  به ترتیب ۱۰، ۳ و ۶ برابر نسبت به نمونه بدون پوشش افزایش یافته است.

در فرکانس پایین واکنش‌های انتقال بار و طبیعت خازنی لایه دوگانه الکتریکی را نشان می‌دهد.

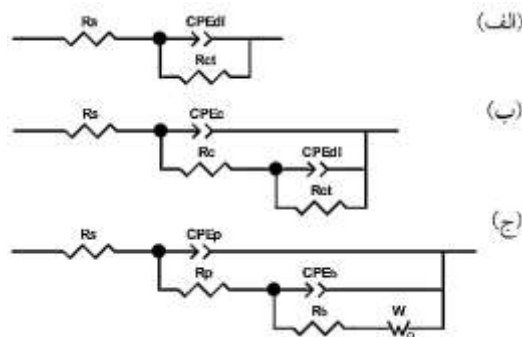


(الف)



(ب)

شکل ۸ نمودارهای: (الف) نایکوئیست و (ب) فاز و باد نمونه‌های بدون پوشش و پوشش داده‌شده



شکل ۹ مدار معادل پیشنهادی طیف‌سنجی امپدانس الکتروشیمیایی نمونه‌های بدون پوشش و پوشش داده‌شده:

(الف)  $Ti$  و  $TiN$ ، (ب)  $TiO_2-N$  و (ج)  $TiO_2$

جدول ۵ نتایج نمودار طیف سنجی امپدانس الکتروشیمیایی نمونه‌های بدون پوشش و پوشش داده شده

نمونه	$R_s$ ( $\Omega \cdot \text{cm}^2$ )	$C_{p\&c}-T$ ( $\mu\text{F}/\text{cm}^2$ )	$C_{p\&c}-P$	$R_{p\&c}$ ( $\Omega \cdot \text{cm}^2$ )	$C_b-T$ ( $\mu\text{F}/\text{cm}^2$ )	$C_b-P$	$R_b$ ( $\text{K}\Omega \cdot \text{cm}^2$ )	$C_{dl}-T$ ( $\mu\text{F}/\text{cm}^2$ )	$C_{dl}-P$	$R_{ct}$ ( $\text{K}\Omega \cdot \text{cm}^2$ )	$W_o-T$	$W_o-P$	$W$ ( $\text{K}\Omega \cdot \text{cm}^2$ )
بدون پوشش	۶/۴۶	-	-	-	-	-	-	۳۳/۲۳۰	۰/۹۱۵	۱۰۸	-	-	-
TiN	۲۱/۸	-	-	-	-	-	-	۱۰/۰۷۶	۰/۸۵۴	۱۹۱	-	-	-
TiO <sub>2</sub>	۶۳/۸۹	۸/۱۷۹	۰/۶۵۲	۹۳۳	۱/۷۰۲	۰/۵۵۱	۷	-	-	-	۰/۹۸۶	۰/۵	۹۸۳
TiO <sub>2</sub> -N	۴۹/۲	۶/۴۲۵	۰/۶۱۷	۵۰۰	-	-	-	۰/۷۶۷	۰/۹۳۲	۵۸۷	-	-	-

خوردگی است. از مهم ترین منحنی های EIS، منحنی تغییرات لگاریتم امپدانس برحسب لگاریتم فرکانس است. سمت راست نمودار (امپدانس در بیشترین فرکانس) بیانگر مقاومت محلول  $R_s$  است. به دلیل اینکه اگر فرکانس سینوسی وارد شده به مدار بسیار زیاد باشد، عملاً خان (عنصر فاز ثابت) به سرعت پر می شود و عملاً مانند یک اتصال کوتاه عمل می کند. بنابراین، جریان به طور کامل از شاخه مربوط به خازن عبور می کند و اصلاً مقاومت انتقال شارژ را در برابر خود نمی بیند، بنابراین یگانه مقاومتی که در برابر عبور جریان است، مقاومت محلول است. سمت چپ (امپدانس در کمترین فرکانس) بیانگر مجموع مقاومت هاست که عملاً به دلیل این که مقاومت محلول در برابر مقاومت لایه اکسیدی سطح و مقاومت پلاریزاسیون خوردگی قابل اغماض است، این مقدار را می توان به مقاومت کل سیستم نسبت داد. به دلیل این که اگر در مدار الکتروشیمیایی فرض کنیم فرکانس آن قدر کم باشد که عملاً بتوان جریان را DC فرض کرد (سینوسی نباشد)، در این صورت در همان میکرو ثانیه ابتدایی خازن پر می شود و دیگر اجازه عبور جریان از شاخه خود را نمی دهد. پس جریان از مقاومت ها (به صورت سری) عبور می کند و مجموع مقاومت ها را در برابر خود می بیند، پس هر چقدر سمت چپ نمودار بالاتر باشد، بیانگر مقاومت بیشتر است [39]. نکته مهم دیگری را باید درباره امپدانس واربرگ مدنظر داشت، در مدل فیزیکی استفاده شده برای به دست آوردن روابط مربوط به این عنصر امپدانس از فرض بی نهایت بودن ضخامت لایه نفوذی استفاده می شود. یعنی فرض بر این است که گونه نفوذکننده از فواصل کاملاً دور و از بطن محلول به سطح الکتروود نفوذ می کند. با استفاده از این فرض و همان طور که بر روی نمودار نایکوئیست برای امپدانس

در مدارهای ارائه شده  $R_s$  به معنی مقاومت محلول بین الکتروود کار و الکتروود مرجع،  $R_p$ ،  $R_c$ ،  $R_{ct}$  و  $R_b$  به ترتیب مقاومت انتقال بار، لایه نیتریدی، لایه متخلخل خارجی و مقاومت لایه متراکم داخلی هستند.  $W_o$  نیز امپدانس واربرگ باز است که به صورت موازی با نیم حلقه خازنی لایه متراکم بسته شده است. به دلیل ناهمگونی های لایه های نیتریدی، متخلخل و متراکم برای نمونه های پوشش دار و ناهمواری های سطح نمونه بدون پوشش، واکنش های الکتروشیمیایی این لایه ها با تعریف عنصر فاز ثابت (CPE) (constant phase element) مشخص شده است. از عنصر فاز ثابت به جای خازن ایدئال استفاده می شود که تفاوت این عنصر در فرمول امپدانس خودش را نشان می دهد:

امپدانس خازن برابر است با:  $Z = 1/j\omega C$  و این مقدار برای CPE برابر است با:  $Z = 1/(Y_0 j\omega)^n$  که در این فرمول ها  $C$  به معنی ظرفیت خازن،  $\omega$  فاز،  $Y_0$  ادمیتانس (برعکس امپدانس و معادل پارامتر ظرفیت در خازن ایدئال) و  $n$  عبارت موهومی  $\sqrt{-1}$  است. همان طور که دیده می شود، اختلاف این دو فقط در یک توان  $n$  است که این مقدار عددی بین صفر و یک است، مقدار صفر آن مقاومت ایدئال و مقدار یک آن خازن ایدئال را تداعی می کند [۳۸]. نمودارهای باد حاصل از آزمون EIS به قرار زیر است:

نمودارها شامل ۲ حالت مجزا هستند، یکی مربوط به تغییرات فاز برحسب لگاریتم فرکانس (عموماً گنبدی شکل) و دیگری تغییرات لگاریتم امپدانس برحسب لگاریتم فرکانس است. انتقال ماکزیم نمودار زاویه فاز به سمت راست در منحنی مربوط به نمونه TiO<sub>2</sub> نسبت به دیگر نمونه ها مشهود است. هر چقدر که نقطه ماکزیم این نمودار به سمت راست میل پیدا کند، بیانگر بالاتر بودن خواص حفاظتی سطح در برابر

به طور کلی برای نمونه های  $TiO_2$  و  $TiO_2-N$ ، می توان گفت به دلیل نفوذ آسان محلول خورنده به حفرات لایه خارجی، این لایه اثر چندانی در طیف سنجی امپدانس الکترو شیمیایی از خود نشان نداده است. بنابراین، این لایه نقشی در مقاومت به خوردگی ندارد. از این رو منطقی است که لایه داخلی پوشش را به عنوان سدی در برابر حملات خوردگی بپذیریم. این لایه سدی فیزیکی در برابر محلول خورنده ایجاد می کند و سبب افزایش مقاومت به خوردگی می شود.

### نتیجه گیری

۱. انجام فرایند نیتراسیون گازی بر روی سطح تیتانیم و اکسید تیتانیم مشخص کرد که نیتروژن در سطح نمونه ها نفوذ کرده و باعث ایجاد فازهای  $TiN$ ،  $TiO_2-N$  و  $TiO_{0.34}N_{0.74}$  شده است. همچنین در راستای تأیید آنالیز پراش پرتو ایکس، آنالیز FTIR انجام شد و نشان داد که در نمونه اکسید تیتانیم نیترووره شده پیوندهای نیتروژن با اکسیژن به وجود آمده است؛

۲. بررسی مورفولوژی ساختار نمونه های  $TiN$  و  $TiO_2-N$  نشان داد که ساختار نمونه  $TiN$  دارای ظاهری متراکم همراه با چاله هایی در سطح است، در حالی که ساختار نمونه  $TiO_2-N$  مشابه نمونه  $TiO_2$  است، با این تفاوت که در کنار حفرات موجود ذرات کروی شکل پدید آمده است. ساختار نمونه های یاد شده در این مرحله به ترتیب ۳/۳ و ۸/۷ میکرون اندازه گیری شد، به طوری که نمونه  $TiO_2-N$  علاوه بر لایه اکسیدی یک لایه نازک  $TiN$  روی سطح تشکیل شده است که این تحلیل در آنالیز اسکن خطی مقطع این نمونه کاملاً مشهود است؛

۳. رفتار خوردگی نمونه های پوشش دار  $TiO_2$ ،  $TiN$  و  $TiO_2-N$  نشان داد که بیشترین مقاومت به خوردگی مربوط به نمونه  $TiO_2$  است که دلیل آن عایق بودن پوشش و در نتیجه انتقال الکترون و تبادل بار الکتریکی کمتر گمانه زده شده است.

واربرگ مشخص است، در حد جریان DC از لحاظ نظری امپدانس واربرگ به سمت بی نهایت میل می کند و این از نظر فیزیکی با مقاومت بی نهایت برای سیستم الکتروشیمی در حد DC متناظر است، ولی در عمل فرض بی نهایت بودن ضخامت لایه نفوذ جای خود را به ضخامت محدود و مقاومت سیستم می دهد [۴۰].

در نمودارهای امپدانس الکتروشیمیایی، افزوده شدن مقادیر المان خازنی نشان از ورود یون ها و محلول خورنده به پوشش دارد و به طور کلی کاهش مقاومت پوشش است که با کاهش مقاومت مربوط به این المان ها همراه می شود. همچنین همان طور که دیده می شود، برای نشان دادن ظرفیت خازنی پوشش ها از المان های فاز ثابت استفاده شده است که علت آن ایدئال نبودن پوشش ها به علت نقایص سطحی موجود است یا به عبارتی ترک ها و حفرات تخلیه برجامانده روی سطح پوشش موجب خارج شدن این ظرفیت از حالت ایدئال می شود. با توجه به جدول ۵، نمونه های پوشش دار نسبت به زیر لایه بدون پوشش مقدار مقاومت بیشتری را نشان می دهند که این امر بیانگر مقاومت بیشتر در برابر خوردگی است. به علاوه هر ۲ پوشش متراکم داخلی و متخلخل خارجی، ظرفیت خازنی به مراتب پایین تری دارند که این امر نیز بیانگر مقاومت بیشتر نمونه پوشش دار PEO و دوپلکس در برابر خوردگی است. برای توجیه مقدار پایین ظرفیت خازنی در افزایش مقاومت به خوردگی می توان گفت که هر چه مقدار ظرفیت خازن کمتر باشد، با مصرف جریان کمتر شارژ می شود و از مدار خارج می شود. با خارج شدن خازن از مدار دیگر جریان برقرار نیست، زیرا با شارژ شدن خازن، جریان از آن عبور نمی کند و مدار قطع می شود. لایه اکسیدی متراکم بر روی سطح تیتانیم نیز چنین حالتی دارد و مانند یک خازن پس از شارژ شدن کامل، با خارج شدن از مدار، مدار الکتریکی را قطع می کند و در نتیجه نرخ خوردگی فلز را کاهش می دهد [۳۸]. با مشاهده نمودارهای EIS و داده های به دست آمده می توان نتیجه گرفت که مقاومت به خوردگی نمونه با پوشش اکسایش الکترولیتی پلاسمایی بهتر از نمونه بدون پوشش است.

## مراجع

۱. م. شکوه‌فر، ج. دهقانیان، م. منتظری، «اعمال پوشش به‌روش اکسیداسیون الکترولیتی پلاسمایی روی تیتانیوم در دو الکترولیت مختلف و بررسی رفتار خوردگی آن»، چهارمین همایش مشترک انجمن مهندسان متالورژی و جامعه علمی ریخته‌گران ایران، ص ۲۶۰۲-۲۶۱۶، تهران، (۱۳۸۹).
2. Quintero, D., Galvis, O., Calderón, J. A., Castaño, J. G., Echeverría, F., "Effect of electrochemical parameters on the formation of anodic films on commercially pure titanium by plasma electrolytic oxidation", *Surface & Coatings Technology*, No. 258, Vol. 258, pp. 1223-1231, (2014).
۳. آ. فتح‌الحسینی، س. ا. گشتی، «بررسی رفتار الکتروشیمیایی تیتانیوم خالص تجاری در محلول‌های اسید سولفوریک»، علوم و مهندسی سطح، شماره ۲۱، ص ۲۱-۳۱، (۱۳۹۳).
4. Alves de Souza, K., Robin, A., "Influence of concentration and temperature on the corrosion behavior of titanium, titanium-20 and 40 % tantalum alloys and tantalum in sulfuric acid solutions", *Materials Chemistry and Physics*, No. 103, Vol. 103, pp. 351-360, (2007).
5. González, J. E. G., Mirza-Rosca, J. C., "Study of the corrosion behavior of titanium and some of its alloys for biomedical and dental implant applications", *Journal of Electroanalytical Chemistry*, No. 471, Vol. 471, pp. 109-115, (1999).
6. Petit, J. A., Chatainier, G., Dabosi, F., "Inhibitors for the corrosion of reactive metals: titanium and zirconium and their alloys in acid media", *Corrosion Science*, No. 21, Vol. 21, pp. 279-299, (1981).
۷. س. شکاری مکی‌آبادی نژاد، م. رشیدی هویه، م. گشتاسبی راد، «آنالیزینگ تیتانیوم و بررسی عوامل مؤثر بر ضخامت و رنگ اکسید آن»، بیست‌ویکمین کنفرانس اپتیک و فوتونیک ایران و هفتمین کنفرانس مهندسی و فناوری فوتونیک ایران، ص ۶۸۹-۶۹۲، دانشگاه شهید بهشتی، (۱۳۹۳).
8. Şerban, V., Roşu, R. A., Bucur, A. I., Pascu, D. R., "Deposition of titanium nitride layers by electric arc reactive plasma spraying method", *Applied Surface Science*, Vol. 265, pp. 245-249, (2013).
9. Kim, S., Lee, S., Kwak, S., Kim, C., Kim, K., "Nano porous anodic oxidation titanium enhances cell proliferation and differentiation of immortalized mouse embryonic cells", *Surface and Coatings Technology*, Vol. 228, pp. S37-S40, (2013).
10. Harada, Y., Kumai, S., "Effect of ceramics coating using sol-gel processing on corrosion resistance and age hardening of AZ80 magnesium alloy substrate", *Surface and Coatings Technology*, Vol. 228, pp. 59-67, (2013).
11. Lukaszewicz, K., Czyzniewski, A., Kwasny, W., Pancielejko, M., "Structure and mechanical properties of PVD coatings deposited onto the X40CrMoV5-1 hot work tool steel substrate", *Vacuum*, Vol. 86, pp. 1186-1194, (2012).
۱۲. م. رکنیان، آ. فتح‌الحسینی، س. ا. گشتی، «بررسی رفتار خوردگی پوشش‌های سرامیکی ایجاد شده به روش اکسیداسیون الکترولیتی پلاسمایی روی زیرلایه تیتانیوم خاص تجاری در محیط شبیه‌سازی بدن»، علوم و مهندسی خوردگی، شماره ۱۲، ص ۵۹-۷۰، (۱۳۹۵).
۱۳. ا. دانش‌پژوه، آ. زارع‌بیدکی، م. حاجی‌صفری، «بررسی تأثیر زمان فرایند اکسیداسیون الکترولیتی پلاسمایی بر رفتار خوردگی آلیاژ  $Zr-13Nb-Ti$  در محلول رینگر هوازادایی‌شده»، فرایندهای نوین در مهندسی مواد، دوره ۱۱، شماره ۲، ص ۱۴۷-۱۵۵، (۱۳۹۶).
14. Gu, W. C., Lv, G. H., Chen, H., Chen, G. L., Feng, W. R., Zhang, G. L., Yang, S. Z., "Investigation of

- morphology and composition of plasma electrolytic oxidation coatings in systems of  $Na_2SiO_3$ - $NaOH$  and  $(NaPO_3)_6$ - $NaOH$ ", *journal of material processing technology*, No. 182, pp.28-33, (2007).
15. Gnedkov, S. V., Khrisanfova, O. A., Zavidnaya, A. G., Sinebrukhov, S. L., Kovryanov, A. N., Scorobogatova, T. M., Gordienko, P. S., " Production of hard and heat-resistant coatings on aluminium using a plasma micro-discharge", *surface and coatings technology*, No. 123, pp. 24-28, (2000).
  16. Lian, J., Luo, Z., Qi, S., Sun, X., "structure antiwear behavior of micro-arc oxidation coating on aluminium alloy", *surface and coatings technology*, No. 154, pp. 1-7, (2007).
  17. Lv, G., Gu, W., Chen, H., Feng, W., Khosa, M. L., Erwu, L. L., Zhang, N. G., Yang, S. Z., "Characteristic of ceramic coatings on aluminum by plasma electrolytic oxidation in silicate and phosphate electrolyte", *applied surface science*, No. 253, pp. 2974-2952, (2006).
  18. Curran, J. A., Clyne, T.W., "Thermo-physical properties of plasma electrolytic oxide coatings on aluminium", *surface and coatings technology*, No. 199, pp.168-176, (2005).
  19. Matykina, E., Berkani, A., Skeldon, P., Thompson, G. E., "Real- time imaging of coating growth during plasma electrolytic oxidation of titanium", *Electrochimica Acta*, No.53, pp.1987-1994, (2007).
۲۰. علم خواه، ح، «ایجاد پوشش های نانو ساختار  $TiN$  بر روی فولاد  $AISI H11$  نیتروژن دهی پلاسمایی شده با استفاده از روش  $PACVD$ »، دانشکده فنی و مهندسی، دانشگاه تربیت مدرس، (۱۳۸۸).
21. Zhecheva, A., Sha, A., Malinov, S., Long, A., "Enhancing the microstructure and properties of titanium alloys through nitriding and other surface engineering methods", *Surface & Coatings Technology*, No.200, pp.2192 – 2207, (2005).
  22. Zukalova, M., Prochazka, J., Bastl, Z., Duchoslav, J., Rubacek, L., Havlicek, D., Kavan, L., "Facile Conversion of Electrospun  $TiO_2$  into Titanium Nitride/Oxynitride Fibers", *Chem. Mater*, No. 22, pp. 4045–4055, (2010).
  23. Maleki-Ghaleh, H., Khalil-Allafi, J., Aghaie, E., Siadat, M. H., "Effect of  $TiO_2$ -Ti and  $TiO_2$ -TiN composite coatings on corrosion behavior of NiTi alloy", *Surface and Interface Analysis*, Vol. 47, pp. 99–104, (2015).
۲۴. نیازی، ح و گلستانی فرد، ف و شاهمیری، م، «افزایش مقاومت به خوردگی موضعی تیتانیوم خالص تجاری در محیط اسید سولفوریک با استفاده از روش اکسیداسیون پلاسمای الکترولیتی»، مواد نوین، جلد ۶، شماره ۲، ص ۱۲۷-۱۳۸، (۱۳۹۴).
25. Xiaohong, W., Zhaohua, J., Huiling, L., Shigang, X., Xinguo, H., "Photo-catalytic activity of titanium dioxide thin films prepared by micro-plasma oxidation method", *Thin Solid Films*, No. 441, pp.130–134, (2003).
  26. Bok Lee, D., Pohrelyuk, I., Yaskiv, O., Lee, J. C., "Gas nitriding and subsequent oxidation of Ti-6Al- 4V alloys ", *Nanoscale Research Letters*, Vol. 7, No. 21, pp. 1-5, (2012).
  27. Perillo, P. M., "Corrosion Behaviour of Titanium Nitride Coating on Titanium and Zircaloy-4", *American Journal of Materials Science and Application*, No. 3, Vol. 2, pp. 18-25, (2015).
۲۸. احمدپور، ا، حقیقی اصل، ع، فلاح، ن، « سنتز نانو دی اکسید تیتانیوم دوپ شده با نیتروژن به منظور مدل سازی تصفیه فتوکاتالیستی پساب اسپنت کاستیک صنایع پتروشیمی در نور مرئی با استفاده از روش طراحی آزمایش»، شیمی کاربردی، دوره ۱۲، شماره ۴۲، ص ۲۵۳-۲۸۵، (۱۳۶).



۲۹. علی اف خضرای، م، بخشی، ر، مرادی، م. ح، صبور روح اقدم، ع، «پوشش های اکسیدی نانو ساختار»، فذک ایساتیس، تهران، (۱۳۹۴).
30. Li, H., Cui, Z., Li, Z., Zhu, S., Yang, X., "Surface modification by gas nitriding for improving cavitation erosion resistance of CP-Ti", *Applied Surface Science*, No. 298, pp.164-170, (2014).
۳۱. ح. ر. باقری، م. علی اف خضرای، ه. فخرنوبی، م. قیطانی، ح. ر. مسیحا، ع. ر. صبور روح اقدم، «بررسی اثر نانوبلوری سازی بر تغییر خواص پوشش اکسیداسیون پالسمایی الکترولیتی آلیاژ AZ31B»، فصلنامه علوم و مهندسی خوردگی، شماره ۹، ص ۷۷-۸۹، (۱۳۹۵).
32. Yu, S., "Corrosion Resistance of Titanium Alloys", in *Corrosion: Fundamentals, Testing, and Protection*, ed: ASM International, Vol. 13A, pp. 703-711, (2003).
۳۳. کریم زاده، ن، «بررسی رفتار خوردگی و تریبو خوردگی فولاد زنگ نزن ۳۱۶ تحت عملیات تیتراسیون پالسمایی و نیتراسیون-اکسیداسیون پالسمایی»، دانشکده مهندسی مواد، دانشگاه آزاد اسلامی واحد نجف آباد، (۱۳۹۱).
۳۴. شریفی، ح، علی اف خضرای، م، عرفانی فر، ا، صبور روح اقدم، ع، «بررسی مورفولوژی و خواص خوردگی پوشش های نانوکامپوزیتی اکسیداسیون پالسمایی الکترولیتی تشکیل شده در الکترولیت حاوی پنی سیلین بر روی تیتانیم»، علوم و مهندسی خوردگی، شماره ۷، ص ۴۵-۵۶، پاییز، (۱۳۹۴).
35. Tsunekawa, S., Aoki, Y., Habazaki, H., "Two-step plasma electrolytic oxidation of Ti-15V-3Al-3Cr-3Sn for wear-resistant and adhesive coating", *Surface & Coatings Technology*, No. 205, pp. 4732-4740, (2011).
۳۶. مولایی، م، فتح الحسینی، آ، گشتی، س.ا، «بررسی ریز ساختار و رفتار خوردگی پوشش سرامیکی ایجاد شده به روش اکسیداسیون الکترولیتی پالسمایی روی سطح آلیاژ آلومینیوم ۲۰۲۴»، علم و مهندسی سرامیک، دوره ۵، شماره ۱، ص ۲۳-۳۳، بهار، (۱۳۹۵).
37. Venkateswarlu, K., Rameshbabu, N., Sreekanth, D., Bose, A. C., Muthupandi, V., Subramanian, S., "Fabrication and characterization of micro-arc oxidized fluoride containing titania films on Cp Ti", *Ceramics International*, No.39, pp.801-812, (2013).
۳۸. شکوه فر، م، دهقانان، ج، «اعمال پوشش اکسیدی به روش اکسیداسیون الکترولیتی پالسمایی روی تیتانیم در الکترولیت های پایه کربناتی و بررسی رفتار خوردگی»، مهندسی متالورژی، شماره ۳۸، ص ۶۳-۶۹، تابستان، (۱۳۸۹).
39. Li, Q., Liang, J., Wang, Q., "Plasma Electrolytic Oxidation Coatings on Lightweight Metals", *Modern Surface Engineering Treatments*, ed. By M. Aliofkhazraei, pp.75-99, Intech, (2013).
۴۰. حسینی، م، احدزاده، ا، «طیف سنجی امپدانس الکتروشیمیایی (EIS) - مبانی و کاربردها»، انجمن خوردگی ایران، تهران، (۱۳۹۰).

